

8. DASE レーザ・レーダの測定精度に対する レーザ・パルス波形の影響

Influence of the Waveform of the Laser Pulse
on the Accuracy of DASE Laser Radar

伊東 克能

Katsuyoshi Ito

三菱電機(株) 鎌倉製作所

Mitsubishi Electric Corp. Kamakura Works

1. まえがき

DASE レーザ・レーダの測定範囲の拡大に最も有効なのは光源の出力増大である。DASE レーザ・レーダの光源としては波長同調の必要から色素レーザが一部を除いて使用されていいる。色素レーザ出力はレーザポンピングよりフラッシュランプポンピングの方が一般に大きく装置も簡単で安価である。しかし、フラッシュランプポンプ色素レーザのパルス幅は DASE レーザ・レーダの距離分解能に対応する光の伝播時間と同程度であり、パルス幅、パルス波形が測定精度に与える影響は無視できないと予想される。ここでは、NO₂, SO₂ の大気中ににおける濃度分布を DASE 方式で測定するととき、使用するレーザ・パルスの波形と測定誤差との関係について検討する。

2. 理 論

今、大気中に被測定ガスとミー散乱粒子とが一様に分布しているとする。ここで波形が $P_{ei}^k(w, t)$ で表わされる波長 λ にレーザ・パルスを照射

する。距離 x の地点よりの散乱光強度 $P_{ri}^k(w, x)$ をレーザ・パルスつピクが送出された時刻より $-2x/c$ （ c ：光速）後に受信される受信光強度とすると、 $P_{ri}^k(w, x)$ は次式で与えられる。

$$P_{ri}^k(w, x) = \int_{x-w+p}^{x+p} P_{oi}^k(w, x-x') \exp(-2d_i x') dx' / x'^2 \quad (1)$$

ここで、時間と距離とは波形 λ_1 のレーザ・パルスの全幅でおよび $C\tau/2$ でそれぞれ規格化されている。また、 α はレーザ・パルスの立ち上がりよりピクまで的时间、 d_i は波長 λ_i における被測定ガスの吸収と他の原因による大気の減衰係数 α_{air} との和で次式で与えられる。

$$d_i = (N\sigma_i + \alpha_{air})C\tau/2 \quad (2)$$

ここで、 N は被測定ガスの濃度、 σ_i は波長 λ_i における吸収断面積である。距離 x から $x+\Delta$ の範囲の被検出ガス濃度のDASE レーザ・レーダによる測定値と式(2)で仮定した濃度 N との比 $\overline{N_{DW}(x, x+\Delta)}$ は次式で与えられ、その値が1に近いほど測定精度は高い。

$$\overline{N_{DW}(x, x+\Delta)} = \frac{\ln[P_{ri}^k(1, x) \cdot P_{ri}^k(w, x+\Delta) / P_{ri}^k(1, x+\Delta) \cdot P_{ri}^k(w, x)]}{(\alpha_1 - \alpha_2)\Delta} \quad (3)$$

3. 検討

レーザ・パルス波形としてつきの3種を考える。その波形を図1に示す。

$$P_{oi}^1(w, t) = \pi \sin \pi (t/w + 1/2) / 2w \quad (4)$$

$$P_{oi}^2(w, t) = 2 \sin^2 \pi (t/w + 1/2) / w \quad (5)$$

$$P_{oi}^3(w, t) = 3.2 (3.2t/w + 1.6) \exp[-(3.2t/w + 1.6)^2/2] / w \quad (6)$$

ただし、 $-1/2 \leq t/w \leq 1/2$ 、 $p=1/2$ (式(4), (5))、 $p=1/3.2$ (式(6))である。

式(3)の傾向を見るため、 $\Delta=1$ 、 $\alpha_1=3 \times 10^{-3}$ 、 $\alpha_2=1 \times 10^{-3}$ 、 $k=3$ として $\overline{N_{DW}}$ を計算し図2に示す。 $w'=2-w$ なるパルスについても図の W と

ほど同じ結果が得られた。また d_1, Δ が大きくなると同じ W, λ に対する $\overline{N_{EW}}$ はより 1 に近づく。図により、士-1-E レーザ・レーダにおけるレーザ・パルス波形による測定誤差の検討は近距離について行なえば十分であることがわかる。

NO_2, SO_2 について表 1 の波長、吸収断面積を用い、表 2 の如き最短測定距離 R_{min} 、距離分解能 δR 、ガス濃度 N の組合せ及び $\Delta = \delta R / (c\tau/2) = 1, 2, 4$ となるてに対して $\overline{N_{EW}}$ を計算した。

表 1 ガスと吸収断面積 ($\times 10^{14} m^2$)

ガス	$\lambda_1 (\text{\AA})$	σ_1	$\lambda_2 (\text{\AA})$	σ_2
NO_2	4,482	4.3	4,464	2.4
SO_2	3,001	8.1	3,014	4.4

表 2 $R_{min}, \delta R, N (25^\circ, 1 \text{ atm})$

CASE	R_{min}	δR	N
1	150 m	50 m	0.05 ppm
2	300	100	0.1
3	150	50	

(1) パルス幅の許容範囲: $\Delta = 1, k = 1, 2, 3$ のときの NO_2, SO_2 の測定誤差 $|N_{EW} - 1|$ に対してパルス幅 W の許される範囲を図 3, 4 に示す。図において、対応する λ と σ の形状の一対の曲線にはさまれた範囲が W の許容範囲である。一般に $R_{min}, \delta R, N, d_1 - d_2$, がそれぞれ大きい方が W の許容範囲が広い。1 例として $\delta R = 50 \text{ m}, R = 150 \text{ m}, N = 0.05 \text{ ppm}$ の NO_2 と精度 10% 以内で (他の原因による誤差は 0 として) 測定しようとすると、パルス幅は 300 ns (全幅) として 2 波長のパルス幅の差は波形によつては 1% 以下でなければならぬ。

(2) 距離分解能 Δ と W の許容範囲: CASE 1 で $\Delta = 2, 4$ としたときの W の許容範囲を図 5, 6 に示す。図 3, 4 と併せて Δ が大きくなると W の許容範囲が急速に広くなっている。パルス幅は狭いほど有利なことがわかる。

(3) d_{air} の影響: $\Delta = 1, k = 3$, CASE 2 の NO_2 について大気の減衰係数 d_{air} を 0 と $8 N \sigma_i$ とした場合の W の許容範囲を図 7 に示す。 d_{air} が増すと W の許容範囲は減少するがその割合はさほど大きくない。

4. むすび

一様に分布した NO_2 , SO_2 を DASE レーザ・レーダーを用いて濃度測定するときレーザ・パルスの波形が測定精度に与える影響について検討した。2 波長の光線のパルス波形は十分な相似度がない（特に近距離でレーザ・パルスの波長の長さの数倍以下）

ご非常に大きな誤差の原因となりうることがわかった。フラッシュランプポンプ色素レーザのパルス全幅は特別な制御を行なわなければ 300 nS はあるから $R_{\min} = 150 \text{ m}$, $\delta R = 50 \text{ m}$ は NO_2 , SO_2 検出用として最小の値であると現状では考えられる。

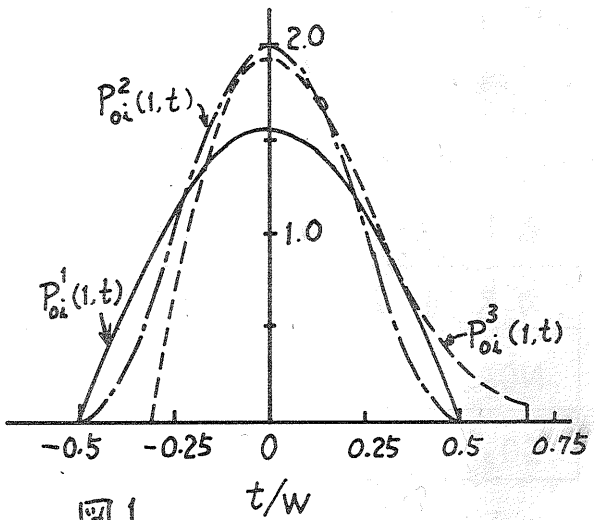


図 1

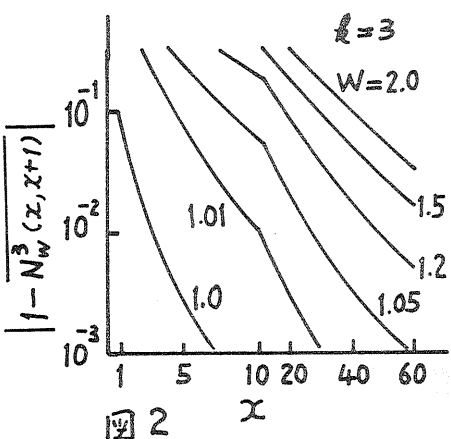


図 2

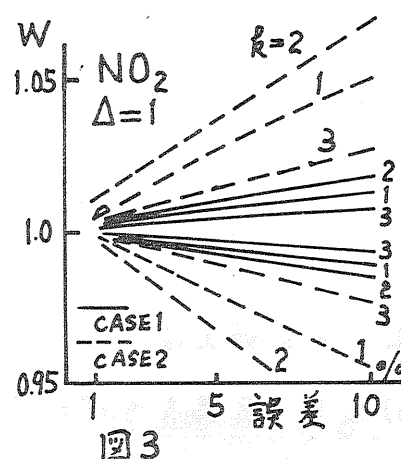


図 3

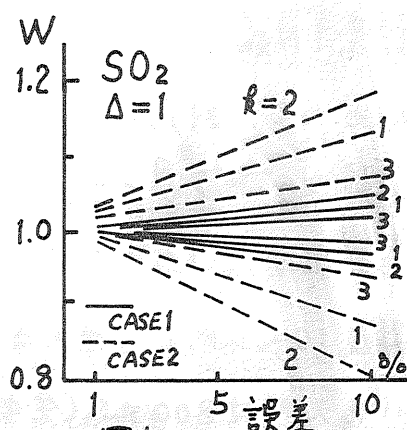


図 4

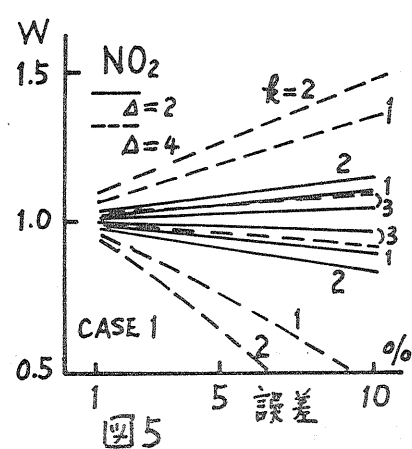


図 5

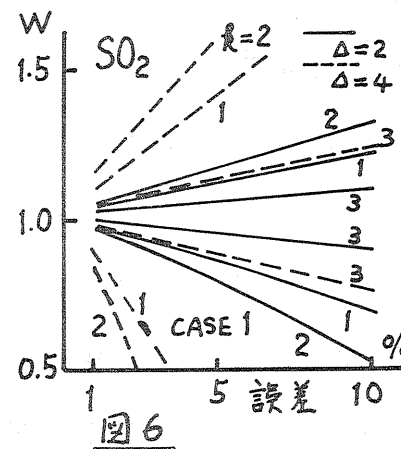


図 6

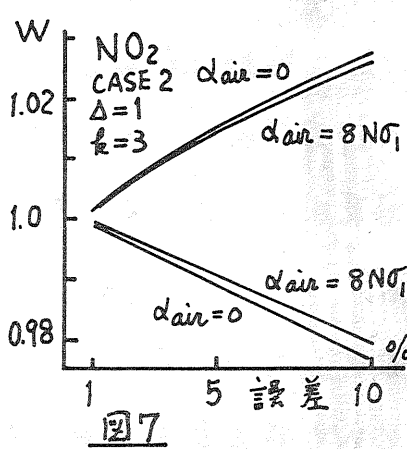


図 7